_____ ЭЛЕКТРОХИМИЯ. ГЕНЕРАЦИЯ И АККУМУЛИРОВАНИЕ ЭНЕРГИИ _____ ИЗ ВОЗОБНОВЛЯЕМЫХ ИСТОЧНИКОВ

УДК: 544.6.018.42-16

ВЛИЯНИЕ МОЛЕКУЛЯРНОГО ЙОДА НА ЭЛЕКТРОКИНЕТИЧЕСКИЕ СВОЙСТВА СУСПЕНЗИЙ ДЛЯ ЭЛЕКТРОФОРЕТИЧЕСКОГО ОСАЖЛЕНИЯ

© 2024 г. Е. Г. Калинина^{а, b, *}, Л. С. Русакова^а, Т. В. Терзиян^b

^аИнститут электрофизики Уральского отделения РАН, Екатеринбург, Россия

^bУральский федеральный университет имени первого Президента России Б. Н. Ельцина, Екатеринбург, Россия

*e-mail: jelen456@yandex.ru

Поступила в редакцию 30.01.2024 г. После доработки 11.03.2024 г. Принята к публикации 14.03.2024 г.

Представлены результаты исследований электрокинетических свойств и особенностей электрофоретического осаждения (9Φ O) в неводных суспензиях допированного самарием диоксида церия $Ce_{0.8}Sm_{0.2}O_{1.9}$ (SDC) при добавлении в состав суспензии молекулярного йода концентрацией 0-1 г/л. Установлен эффект инверсии дзета-потенциала в суспензии SDC с увеличением концентрации йода. Обнаружено катодное осаждение в условиях 9Φ O в суспензии 10 г/л SDC с добавкой йода (1 г/л) при напряжениях выше порогового значения (6 В), несмотря на отрицательное значение дзета-потенциала (-5.9 мВ), полученное электроакустическим методом. Предложена возможная интерпретация возникновения установленных эффектов, связанная с перекомпенсацией заряда частиц в суспензии при высокой концентрации со- и противоионов в составе двойного электрического слоя (ДЭС).

Ключевые слова: допированный CeO_2 , неводная суспензия, дзета-потенциал, электрофоретическое осаждение ($\Theta\PhiO$)

DOI: 10.31857/S0044453724110186, EDN: EYGTAG

ВВЕДЕНИЕ

Электрофоретическое осаждение (ЭФО) является перспективной технологией формирования электролитных слоев твердооксидных топливных элементов (ТОТЭ) [1, 2]. Перспективным материалом твердого электролита для создания среднетемпературных ТОТЭ является допированный самарием диоксид церия $Ce_{0.8}Sm_{0.2}O_{1.9}$ (SDC) [3]. Порошковый материал SDC может быть получен с применением различных химических методов и высокоэнергетическим физическим диспергированием – лазерным испарением и конденсацией (ЛИК) [4]. К наиболее применяемому химическому методу получения порошка SDC можно отнести метод горения растворов и его модификации [5, 6]. Метод ЛИК позволяет получать слабоагрегированные нанопорошки, преимущественно сферической формы частиц (средний диаметр 9-10 нм), с высокой удельной поверхностью ($84-94 \text{ м}^2/\Gamma$). Суспензии нанопорошков, полученных методом ЛИК, являются седиментационно устойчивыми и характеризуются высоким значением дзета-потенциала (более 30 мВ по абсолютной величине) [7]. Для порошков, полученных химическими методами,

характерно образование плотно сцепленных микроразмерных агрегатов неправильной формы (размером до 10 мкм). Суспензии микроразмерных порошков, как правило, агрегативно устойчивые, однако, их дзета-потенциал имеет невысокое значение (менее 15 мВ по абсолютной величине) [8]. На поверхности частиц в суспензии возникает двойной электрический слой (ДЭС), а значение дзета-потенциала является основной характеристикой устойчивости суспензии и определяет ее электрокинетические свойства [9].

Формирование покрытий методом ЭФО с применением микроразмерных порошков, с одной стороны, имеет преимущества за счет возможности достижения необходимой толщины покрытий без применения полимерного связующего, а с другой стороны, в суспензиях микроразмерных порошков осуществление процесса ЭФО в ряде случаев встречает сложности получения сплошных покрытий и требует модификации суспензий внесением, например, молекулярного йода. Основной механизм влияния йода на электрокинетические свойства суспензии, который описан в литературе, обусловлен реакцией йода с компонентами

неводной дисперсионной среды, такими как, ацетилацетон или изопропанол, что вызывает генерацию протонов в объеме суспензии, которые являются потенциалопределяющими и адсорбируются на поверхности частиц, формируя положительный эффективный электрический заряд и увеличивая дзета-потенциал [10–12]. Стоит отметить, что предложенный в литературе [13] механизм молификации суспензии внесением молекулярного йода как зарядового агента требует уточнения. По результатам наших опубликованных работ [8, 14], при внесении в суспензию микроразмерного порошка добавки йода концентрацией 0.4 г/л изменение дзета-потенциала не происходило по отношению к исходным значениям. Вместе с тем, без добавления йода процесс осаждения не происходил, а его добавка привела к инициированию процесса осаждения, а также к увеличению проводимости суспензии [8, 14]. Небольшая добавка нанопорошка в состав суспензии на основе микроразмерного порошка SDC позволяет достигнуть увеличения дзета-потенциала суспензии, а также улучшить однородность и сплошность полученных методом ЭФО покрытий [15].

В настоящей работе мы провели исследование свойств суспензий SDC при добавлении молекулярного йода концентрацией до 1 г/л с определением дзета-потенциала, величины рН, сопротивления суспензии, а также направленности процесса ЭФО и толщины полученных покрытий на модельном электроде Ni-фольга. Полученные результаты экспериментов показали возникновение инверсии знака дзета-потенциала при увеличении концентрации йода в суспензии. Проведено сравнение результатов измерения дзета-потенциала с применением различных методов — электроакустического метода и метода электрофоретического рассеяния света (ЭФРС).

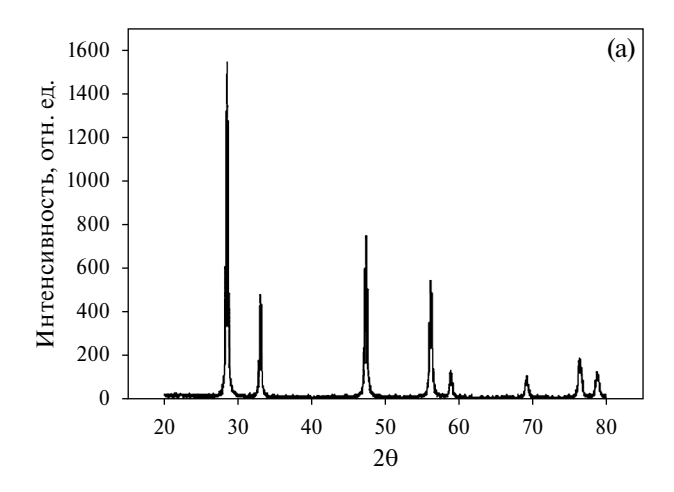
ЭКСПЕРИМЕНТАЛЬНАЯ ЧАСТЬ

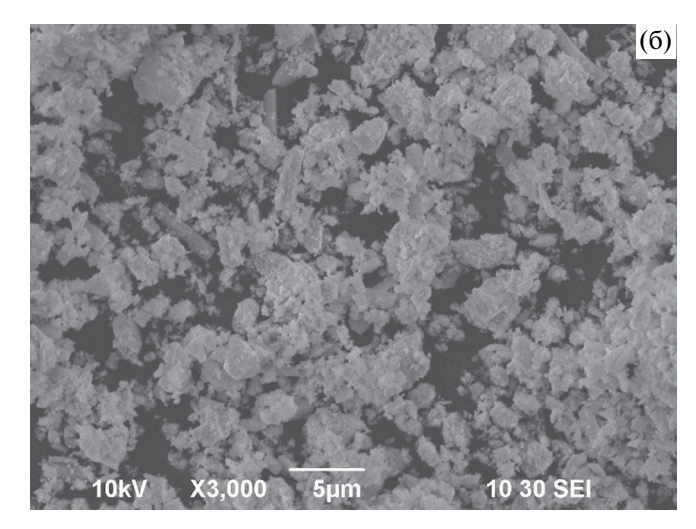
Микроразмерный порошок электролита $Ce_{0.8}Sm_{0.2}O_{1.9}$ (SDC-м) был синтезирован методом горения растворов с использованием нитратов $Ce(NO_3)_3 \cdot 6H_2O$ (99.9 мас. %) и $Sm(NO_3)_3 \cdot 6H_2O$ (99.0 мас. %) в качестве исходных реагентов, к которым добавляли лимонную кислоту в качестве хелатного агента и глицин в качестве органического топлива. Все реагенты смешивали с добавлением небольшого количества дистиллированной воды до полного растворения. Затем смесь нагревали до образования ксерогеля с последующим самовоспламенением. Полученный порошок прокаливали на воздухе при температуре 900°C в течение 5 ч, затем проводили помол в среде этанола в планетарной мельнице Pulverisette 7 (Retsch, Германия) в течение 1 ч с использованием циркониевых шаров. Удельная поверхность по методу БЭТ порошка SDC-м

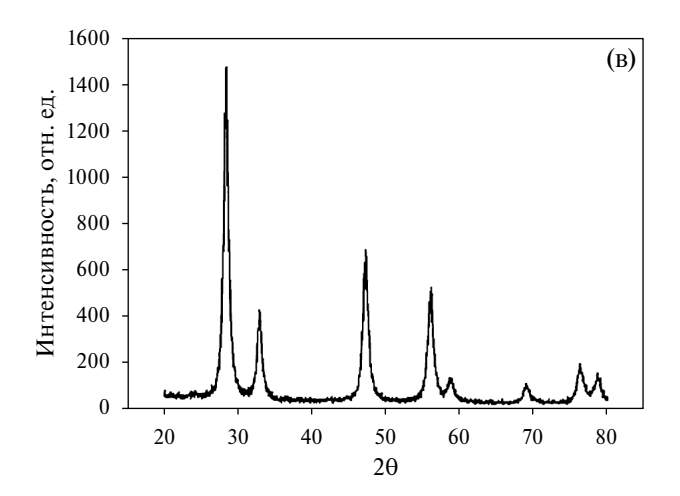
составила $12 \text{ м}^2/\text{г}$, измерения проводили с помощью анализатора SORBI N4.1 (Мета, Россия). По данным РФА, образец порошка SDC-м был однофазным, имел кубическую структуру с пространственной группой Fm-3m (225) и параметром решетки a=5.431(1) Å (дифрактометр XRD-7000, Shimadzu, Япония), рис. 1а. Порошок SDC-м содержал частицы неправильной формы размером 1-3 мкм и их агрегаты (сканирующий электронный микроскоп JSM-6390 LA, JEOL, Япония), рис. 16.

Нанопорошок электролита SDC-н был получен методом лазерного испарения и конденсации. Керамическая мишень SDC была изготовлена из исходных материалов CeO₂ (99.9 мас. %) и Sm₂O₂ (99.9 мас. %) методом двухстадийного твердофазного синтеза (при температурах 900°C, 10 ч при 1050°С и 10 ч с промежуточным измельчением в течение 1 ч) с последующим прессованием полученного порошка при давлении 300 МПа и спеканием при температуре 1300°C, 3 ч. Испарение керамической мишени осуществляли излучением иттербиевого лазера LS-06 с оптоволоконной системой (IPG Photonics, США) при эффективной выходной мощности 600 Вт, конденсация и образование наночастиц происходило в циклоне. Удельная поверхность по методу БЭТ порошка SDC-н составила 83 M^2/Γ , измерения проводили с помощью анализатора TriStar 3000 (Micrometrics, США). По данным РФА, образец порошка SDC-н был однофазным, имел кубическую структуру с пространственной группой Fm-3m (225) и параметром решетки a = 5.439(3) Å и OKP=18(2) нм (дифрактометр D8 DISCOVER, Bruker AXS, Германия), рис. 1в. Наночастицы SDC-н имели преимущественно сферическую форму, присутствовали ограненные частицы со средним размером 9 нм (просвечивающий электронный микроскоп JEM 2100, JEOL, Япония), рис. 1г.

Приготовление суспензии SDC осуществляли в смешанной дисперсионной среде изопропанол/ацетилацетон — 90/10 об. % (iPrOH/HAcAc — 90/10 об. %). Порошковый материал SDC готовили в соотношении 95 мас. % SDC-м/5 масс. % SDC-н. Добавка нанопорошка SDC-н в количестве 5 мас. % к микроразмерному порошку SDC-м была нами выбрана на основании результатов, полученных в нашей работе [15], для улучшения однородности и сплошности покрытий, полученных методом ЭФО. Исходную суспензию SDC концентрацией 10 г/л готовили по точной навеске порошка SDC (95 масс. % SDC-м/5 мас. % SDC-н) в среде iPrOH/ НАсАс (90/10 об. %) и обрабатывали ультразвуком (ультразвуковая ванна УЗВ-13/150-ТН, Рэлтек, Россия) в течение 125 мин. Осуществляли внесение в суспензию SDC молекулярного йода концентрацией 0, 0.05, 0.1, 0.2, 0.4, 0.6 и 1 г/л с последующей ультразвуковой обработкой в течение 25 мин. Электрокинетические измерения дзета-потенциала







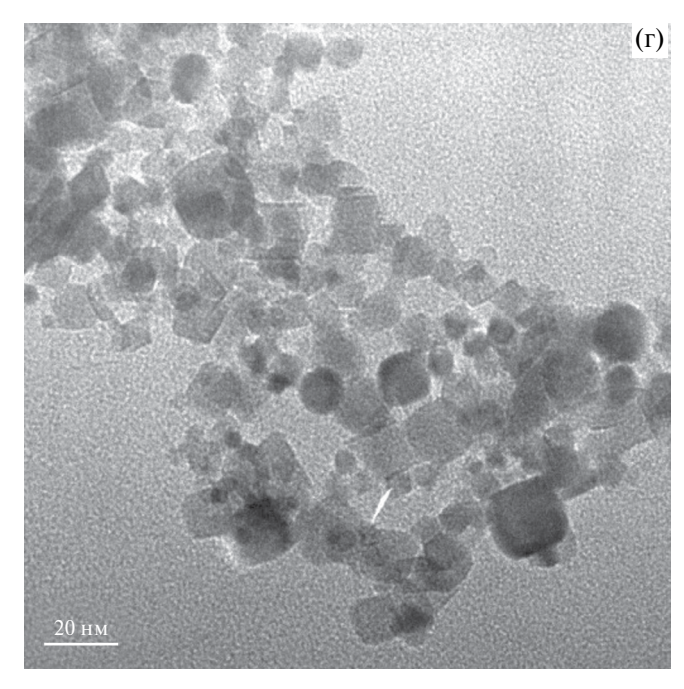


Рис. 1. Рентгенограммы для образцов SDC-м (а) и SDC-н (в); СЭМ-изображение морфологии микроразмерных частиц SDC-м (б); ПЭМ-изображение морфологии наночастиц SDC-н (г).

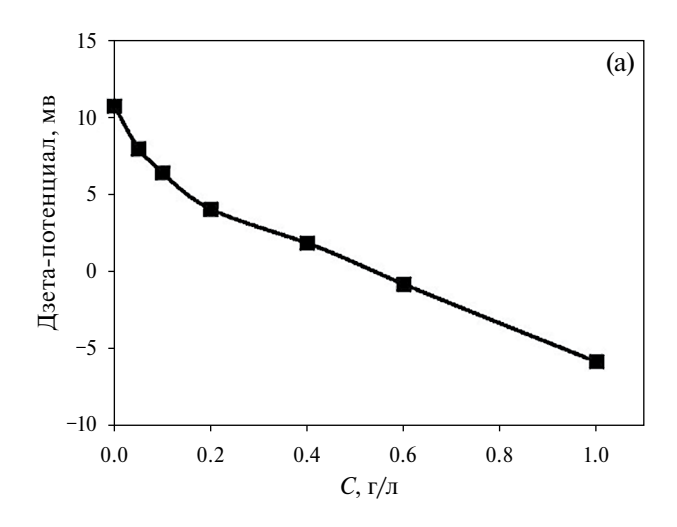
электроакустическим методом проводили на анализаторе DT-300 (Dispersion Technology, США) на суспензиях SDC с концентрацией 10 г/л при различном содержании йода $(0-1 \ \Gamma/\pi)$. Измерения дзета-потенциала в суспензиях SDC с концентрацией 0.5 г/л проводили методом электрофоретического рассеяния света (ЭФРС) с помощью анализатора частиц ZetaPlus (Brookhaven Instruments Corporation, США). Измерение тока в суспензиях SDC при проведении ЭФО осуществляли при помощи мультиметра UT71E (Uni-Trend Technology Limited, Китай). ЭФО проводили с использованием специализированной установки в режиме постоянного напряжения (ИЭФ УрО РАН, Россия). Процесс ЭФО проводили на вертикально расположенные электроды (Ni-фольга) на расстоянии 10 мм между собой, погруженные в суспензию.

Определение сопротивления суспензии SDC в режиме проведения ЭФО осуществляли вычислением с использованием измеренного значения силы тока и заданного напряжения ЭФО. Морфологические особенности электрофоретически полученных осадков определяли с помощью оптического микроскопа ST-VS-520 (Россия).

ОБСУЖДЕНИЕ РЕЗУЛЬТАТОВ

Изменение дзета-потенциала суспензий порошка SDC при внесении зарядового агента— молекулярного йода

При внесении молекулярного йода (0-1 г/л) в суспензию 10 г/л SDC в смешанной дисперсионной среде изопропанол/ацетилацетон (90/10 об. %)



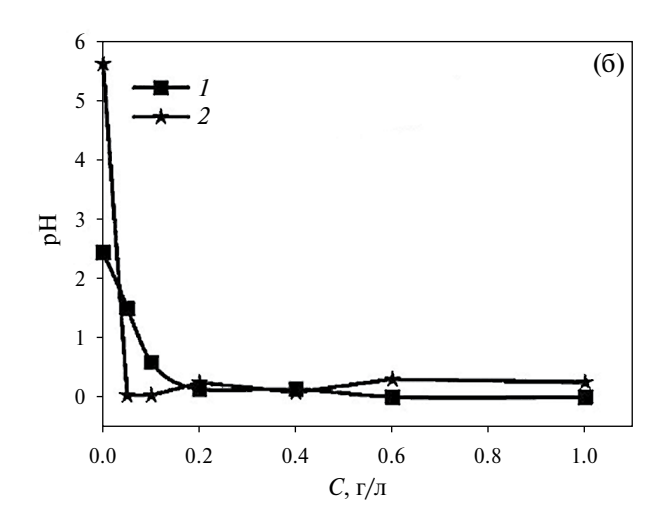


Рис. 2. Зависимости дзета-потенциала (а) и рН (б) от концентрации йода в суспензии 10 г/л SDC (1) и дисперсионной среде iPrOH/HAcAc (90/10 об. %, 2).

происходило изменение дзета-потенциала и рН, соответствующие зависимости представлены на рис. 2. Как видно из рис. 2, при увеличении концентрации йода происходило плавное снижение дзета-потенциала и изменение его знака с исходного значения +10.8 мВ (без йода) до —5.9 мВ (1 г/л йода). Значение рН в суспензии сместилось в кислую сторону с 2.4 до 0.1. Для чистой дисперсионной среды (без частиц SDC) изменение рН происходило с 5.6 до 0.3 при добавлении йода концентрацией до 1 г/л. Изменение знака дзета-потенциала происходило в диапазоне концентраций йода 0.4—0.6 г/л.

В исходной суспензии SDC (без йода) самопроизвольно формируется положительный дзета-потенциал (+10.8 мВ) в кислой среде (рН 2.4). Предполагаемый механизм образования положительного заряда на частицах в исходной суспензии SDC заключается в следующем: на первом этапе происходит растворение остаточного количества нитрата церия на поверхности частиц порошка, с образованием катионов церия и нитрат анионов; на втором этапе образовавшиеся катионы церия гидролизуются с участием остаточной воды в составе изопропилового спирта с образованием положительно заряженных гидратированных ионов церия и протонов, что определяет кислую среду суспензии; далее на поверхности частиц порошка адсорбируются гидратированные положительно заряженные ионы церия, и самопроизвольно формируется положительный дзета-потенциал в суспензии. Данный механизм нами был предложен в работах [7, 16].

Исходное значение рН дисперсионной среды (рН 5.6) лежит выше относительно рН суспензии (рН 2.4). Слабое протонирование дисперсионной среды может быть связано с ионизацией енольной формы ацетилацетона. Известно [17],

что ацетилацетон подвергается кето-енольной таутомерии и преимущественно существует в виде енол-таутамера, проявляющего слабые кислотные свойства. При внесении небольшой концентрации йода (0.05 г/л) рН среды резко падает до значения рН 0.1, при дальнейшем увеличении концентрации йода рН среды находится в интервале 0.1-0.3. То есть, при добавлении йода резко возрастает концентрация протонов, предположительно в ходе взаимодействия йода с компонентами среды [11, 18]. Ацетилацетон, как более реакционно-активный компонент реагирует с йодом в стандартных условиях с образованием йодида водорода и йодзамещенного НАсАс, который, в свою очередь, также подвергается кето-енольной таутомерии. Таким образом, кислотность дисперсионной среды при добавлении молекулярного йода определяется наличием катионов водорода за счет химического взаимодействия компонентов, ионизации исходного ацетилацетона и продуктов его замещения. Для суспензии SDC характерно более плавное снижение величины рН в диапазоне концентраций йода до 0.2 г/л, при увеличении добавки йода величина рН суспензии находится на уровне рН среды (~0.1-0.3).

Известно, что в неводных дисперсионных средах находит применение добавление йода в качестве зарядового агента, что способствует увеличению проводимости суспензий и однородности полученных покрытий методом ЭФО [11, 13]. Внесение молекулярного йода в суспензию частиц может инициировать процесс ЭФО, который без добавления йода в ряде случаев не возникает, как было показано в работе [8]. В качестве механизма, отвечающего за рост эффективности процесса ЭФО при добавлении йода в неводную среду, выделяют

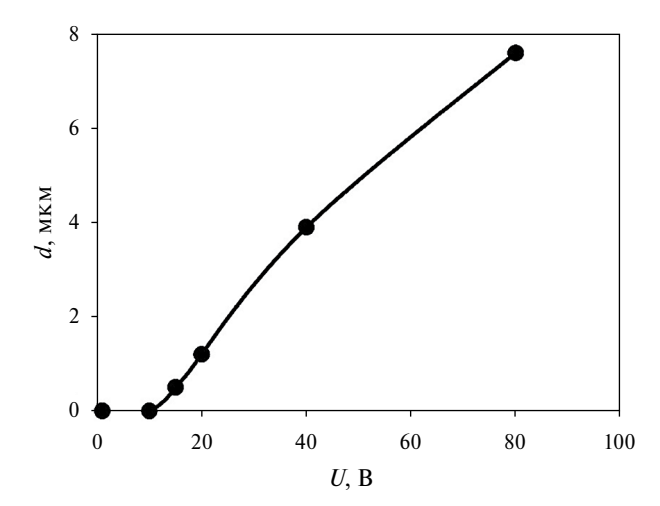


Рис. 3. Зависимость толщины покрытия (d) от напряжения (U) при ЭФО из суспензии 10 г/л SDC без добавления йода (время осаждения 1 мин).

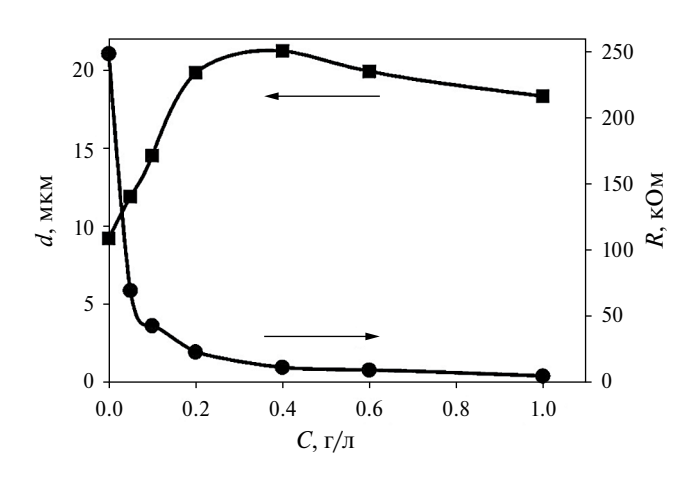


Рис. 4. Изменение толщины ЭФО покрытия SDC (d) и сопротивления суспензии (R) при увеличении концентрации йода при осаждении в режиме постоянного напряжения $80 \ B, 1 \ мин.$

специфическую адсорбцию протонов на поверхности диспергированных в среде частиц, причем многие исследователи отмечают рост дзета-потенциала в суспензии и толщины осажденных покрытий при концентрации йода до значения ~ 0.4 г/л [10, 11, 13]. Полученная нами зависимость дзета-потенциала от концентрации йода в суспензии 10 г/л SDC имеет характер, отличающийся инверсией дзета-потенциала и, возможная адсорбция протонов на поверхности частиц не является основным определяющим фактором в случае применяемой нами суспензии SDC. Более плавное снижение рН в узком диапазоне концентрации йода до 0.2 г/л в суспензии SDC, по сравнению с чистой дисперсионной средой, можно объяснить конкурирующими

процессами участия протонов и йодид-ионов в образовании ДЭС и миграции протонов и йодид-ионов из объема суспензии в диффузную часть ДЭС вокруг частин. При концентрации йола в суспензии более 0.2 г/л превалирует достраивание диффузной части ДЭС йодид-ионами, при этом дзета-потенциал снижается и переходит в отрицательную область, а образовавшиеся протоны остаются в объеме суспензии, создавая кислую среду. Выявленный нами эффект инверсии знака дзета-потенциала при концентрации йода 0.4-0.6 г/л и дальнейшее смещение дзета-потенциала в отрицательную область при концентрации йода 1 г/л может быть связано не только с увеличением концентрации йодид-ионов в диффузной части ДЭС, но и с эффектом возникновения перекомпенсации эффективного заряда частиц в суспензии [19-21]. Эффект смены знака дзета-потенциала в неводной суспензии SiO₂ был установлен в работе Fori и др., в которой было показано изменение дзета-потенциала с исходных отрицательных до положительных значений при увеличении добавки йода [22], в которой, вероятно, основным механизмом установления дзета-потенциала для суспензии порошка SiO₂ являлось участие протонов и их адсорбция на поверхности частиц.

Исследование влияния напряжения при ЭФО из суспензии 10 г/л SDC в среде iPrOH/ HAcAc (90/10 об. %) без добавления йода

Были проведены эксперименты по осаждению покрытия SDC из суспензии 10 г/л SDC в среде iPrOH/HAcAc (90/10 об. %) без добавления йода на Ni-фольге, напряжение варьировали в диапазоне от 1 В до 80 В при времени осаждения 1 мин (рис. 3). Как видно из рис. 3, осаждение в суспензии SDC без добавления йода возникает при напряжении более 15 В. Улучшение однородности покрытия возникает только при напряжениях более 40 В, а сплошное и однородное покрытие возникает при напряжении 80 В.

Закономерности роста покрытий при ЭФО (напряжение 80 В) из суспензии 10 г/л SDC в среде iPrOH/HAcAc (90/10 об. %) при увеличении концентрации добавленного йода

Изменение толщины покрытий SDC было исследовано на модельном электроде Ni-фольга при ЭФО из суспензий 10 г/л SDC в среде iPrOH/ HAcAc (90/10 об. %) с различной концентрацией йода до 1 г/л. ЭФО проводили в режиме постоянного напряжения 80 В в течение 1 мин. Было установлено, что при всех значениях концентрации йода покрытие SDC было сплошным, зависимости толщины покрытия и сопротивления суспензии SDC от концентрации йода представлены на рис. 4.

Рост толщины покрытия при увеличении количества добавленного йода происходил до значения концентрации 0.4 г/л, при дальнейшем увеличении концентрации йода толшина покрытия уменьшалась. В диапазоне концентраций йода 0-0.4 г/л происходило наиболее резкое снижение сопротивления суспензии, а также увеличение толщины покрытия в данном диапазоне концентраций йода. Необходимо заметить, что отмеченный рост толщины покрытия (при концентрации йода $C < 0.4 \, \text{г/л}$) происходил в условиях снижения абсолютного значения дзета-потенциала (рис. 2), а осадок формировался при всех значениях концентрации йода только на катоде, несмотря на отрицательное значение дзета-потенциала при C > 0.4 г/л. Суспензия SDC с концентрацией 1 г/л йода имеет отрицательное значение дзета-потенциала, максимальное по абсолютной величине среди рассмотренных, поэтому представляет интерес выявить особенности ЭФО именно из этой суспензии во всем диапазоне напряжений от 1 В до 80 В с определением осажденной массы на катоде и на аноде.

Особенности осаждения из суспензии SDC с высоким содержанием йода (1 г/л) при варьировании напряжения осаждения

Проведенные нами эксперименты показали возникновение эффекта инверсии знака дзета-потенциала суспензии SDC с увеличением концентрации добавленного йода. Измерение электрокинетических свойств, выполненные электроакустическим методом, показали отрицательное значение дзета-потенциала (-5.9 мB) в суспензии 10 г/л SDCс добавкой йода 1 г/л, в то время как $\Theta\Phi O$ при напряжении 80 В происходило на катоде. Отмеченное наблюдение можно объяснить наличием положительного эффективного заряда частиц в условиях проведения ЭФО при напряжении 80 В. Измерение дзета-потенциала электроакустическим методом включает в себя определение динамической подвижности частиц в условиях воздействия ультразвуковой волны, что приводит к возникновению высокочастотного электрического сигнала на электродах измерительного зонда, помещенного в суспензию [23–25]. Коллоидная система в условиях измерений дзета-потенциала электроакустическим методом находится под воздействием значительно меньшей величины электрического сигнала (не более 100 мВ), нежели в условиях проведения ЭФО при напряжении 80 В, на что указывают различие знака дзета-потенциала (меньше нуля) и направленность осаждения (на катод).

Мы провели детальное исследование осаждения из суспензии SDC с максимальным содержанием йода 1 г/л для определения характера и направленности процесса переноса заряженных частиц в суспензии с варьированием напряжения в диапазоне

 $U=1-80~{\rm B}$ при времени осаждения 1 мин. Было установлено, что фрагментарное осаждение частиц SDC на катоде начинается при напряжении более 6 В, а сплошное покрытие на катоде образуется при напряжении более 20 В. При низких значениях напряжения (менее 6 В) на аноде образуются отдельные скопления частиц SDC, а сплошной слой на аноде не образуется во всем диапазоне напряжений (1 $-80~{\rm B}$), наблюдается осаждение йода на поверхности анода. Характер морфологии покрытий, значение толщины слоя SDC при различных напряжениях ЭФО из суспензии 10 г/л SDC с добавкой йода 1 г/л представлены в табл. 1.

Таким образом, полученные результаты экспериментов (табл. 1) показали присутствие отдельных частиц SDC на аноде при низких значениях напряжения, а при высоких значениях напряжения происходит только катодное осаждение, что говорит о влиянии внешнего электрического поля на эффективный заряд частиц в суспензии. Отмеченный эффект влияния напряжения на направленность процесса ЭФО в суспензии SDC с высоким содержанием йода предположительно связан с миграцией йодид-ионов из сольватной оболочки ДЭС вокруг частиц по направлению к аноду, что вызывало появление положительного эффективного заряда частиц в процессе ЭФО при высоком значении напряжения. Таким образом, можно предполагать возникновение эффектов поляризации ДЭС, нелинейного электрофореза, а также перераспределение со- и противоионов в составе диффузной части ДЭС и в объеме суспензии [26— 28]. Стоит отметить, что определенное влияние на наблюдаемое изменение направленности процесса ЭФО при переходе от низких (частичное осаждение на анод) к высоким напряжениям (осаждение только на катод) в суспензии SDC с высокой концентрацией добавленного йода может оказывать электрическое поле пространственного заряда, создаваемого за счет градиента концентрации ионов I^- в объеме суспензии при высоком количестве внесенного йода. Аналогичный эффект изменения и инверсии электрофоретической подвижности обсуждается в работе [29].

Сравнительные исследования зависимости дзетапотенциала от концентрации добавленного йода в суспензии SDC с применением метода электрофоретического рассеяния света

В связи с выявленным влиянием напряжения на эффективный заряд частиц в суспензии при ЭФО нами было проведено измерение дзета-потенциала суспензии SDC с различной концентрации йода методом ЭФРС. Метод ЭФРС позволяет проводить измерения дзета-потенциала в разбавленных суспензиях (0.5 г/л) при достаточно высокой напряженности электрического поля (28 В/см).

Таблица 1. Особенности морфологии и толщина осадка SDC при различном напряжении ЭФО, формируемого на катоде/аноде из суспензии 10 г/л SDC с содержанием йода 1 г/л

Напряжение, В	Электрод	Особенности морфологии осадка	Толщина, мкм
1	Катод	_	_
1	Анод	Единичные частицы SDC, йод	_
2	Катод	_	_
2	Анод	Скопление частиц SDC, йод	_
4	Катод	_	_
4	Анод	Единичные частицы SDC, йод	_
6	Катод	Фрагментарный осадок SDC	1.7
6	Анод	Скопление частиц SDC, йод	_
8	Катод	Фрагментарный осадок SDC	0.8
8	Анод	йод	_
10	Катод	Фрагментарный осадок SDC	2.2
10	Анод	йод	_
15	Катод	Фрагментарный осадок SDC	1.3
15	Анод	йод	_
20	Катод	Сплошное покрытие SDC	5.8
20	Анод	йод	_
40	Катод	Сплошное покрытие SDC	11.2
40	Анод	йод	_
80	Катод	Сплошное покрытие SDC	20
80	Анод	йод	_

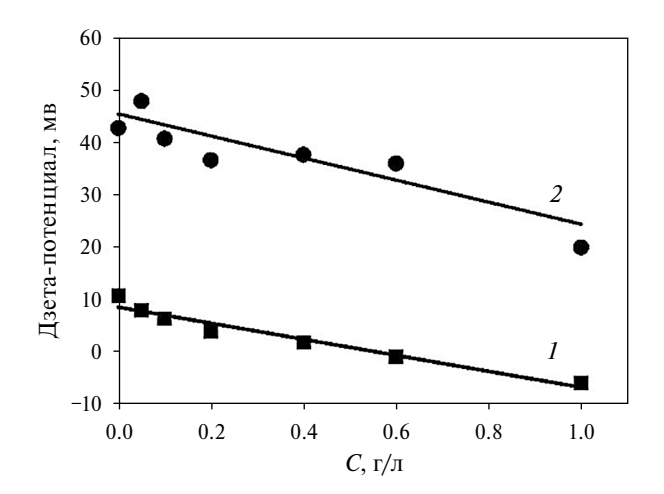


Рис. 5. Зависимости дзета-потенциала суспензии SDC от концентрации добавленного йода, измеренные электроакустическим методом (1) и методом $\Im\Phi$ PC (2).

Исходную суспензию 10 г/л SDC с различным содержанием йода (0-1 г/л) разбавляли до содержания по твердой фазе 0.5 г/л и проводили измерения дзета-потенциала методом ЭФРС, полученная зависимость дзета-потенциала от концентрации

йода в сравнении с электроакустическим методом представлена на рис. 5. Как видно из рис. 5, значения дзета-потенциала, определенные методом ЭФРС, являются положительными и достаточно высокими при всех значениях концентрации добавленного йода в суспензию SDC. Вместе с тем, видна тенденция понижения дзета-потенциала с увеличением концентрации йода при измерениях методом ЭФРС, что соответствует тенденции снижения дзета-потенциала, полученной электроакустическим методом. Более высокие значения дзета-потенциала, полученные методом ЭФРС, в сравнении со значениями, полученными электроакустическим методом, обусловлены наличием постоянной составляющей в полученных значениях. Эффекта увеличения дзета-потенциала при добавлении І2 нами не было обнаружено, тем самым можно сделать предположение об основной роли йодид-ионов в диффузной части ДЭС, что определяло понижение дзета-потенциала, а адсорбция протонов достигла своего насыщения. Тенденция понижения дзета-потенциала, вероятно, обуславливалась совместными эффектами перекомпенсации эффективного заряда частиц и сжатием ДЭС при увеличении концентрации ионов в суспензии. Стоит отметить, что примененная для измерений методом ЭФРС суспензия (концентрация по твердой фазе 0.5 г/л) получена разбавлением жидкой средой из исходной суспензии с йодом. Таким образом, разбавленная суспензия содержала такое же количество йола по отношению к солержанию твердой фазы в сравнении с концентрированной суспензией, тем самым, разбавление суспензии не изменяло этого соотношения (йод/твердая фаза). В условиях измерения электроакустическим методом присутствует смена знака в значениях дзета-потенциала, в отличие от измерений методом ЭФРС, когда подвижность частиц регистрируется при высокой напряженности электрического поля 28 В/см. Различные условия измерений дзета-потенциала электроакустическим методом и методом ЭФРС обусловлены не только напряженностью электрического поля, но и содержанием твердой фазы в суспензии. Тенденция снижения дзета-потенциала с увеличением доли твердой фазы в составе суспензии была показана нами в работе [30], что связано с влиянием межчастичного взаимодействия и перекрыванием диффузных частей ДЭС. Таким образом, данные, полученные как электроакустическим методом, так и методом ЭФРС, указывают на определяющее влияние на систему йодид-ионов, встраивающихся в ДЭС. Это приводит к снижению дзета-потенциала, а в случае концентрированной суспензии, изменению его знака. Сопоставление результатов измерений дзета-потенциала электроакустическим методом и методом ЭФРС для суспензий с высоким содержанием йода соотносится с нашим выводом о возможности изменения эффективного заряда частиц в суспензии в процессе электрофореза при изменении напряжения.

ЗАКЛЮЧЕНИЕ

Проведено исследование влияния молекулярного йода на электрокинетические свойства суспензий SDC и направленность электрофоретического осаждения при постоянном напряжении (1-80 В). Было установлено, что зависимость дзета-потеншиала от концентрации йода является убывающей. а величина дзета-потенциала и эффективный заряд частиц в суспензии зависят от напряженности внешнего электрического поля. Различные условия измерения дзета-потенциала, с использованием электроакустического метода (концентрированная суспензия 10 г/л и переменное электрическое поле напряженностью менее 100 мВ/см) и метода ЭФРС (разбавленная суспензия 0.5 г/л и постоянное электрическое поле напряженностью 28 В/см) приводят к различию измеренных значений на постоянную составляющую при наличии общей тенденции понижения дзета-потенциала с увеличением концентрации йода. Выявлен эффект инверсии знака дзета-потенциала, измеренного электроакустическим методом, а также продемонстрировано изменение направленности процесса ЭФО при изменении напряжения осаждения. Установлена необходимость уточнения интерпретации механизмов ЭФО и изменения электрокинетических свойств суспензий при высокой концентрации протонов и йодид-ионов в ее объеме.

Авторы благодарят зав. лабораторией химии соединений редкоземельных элементов ИХТТ УрО РАН, к.х.н. Журавлева В.Д. за предоставленный микроразмерный порошок SDC.

Авторы заявляют, что у них нет конфликта интересов.

СПИСОК ЛИТЕРАТУРЫ

- Kalinina E.G., Pikalova E. Yu. // Russ. Chem. Rev. 2019. V. 88. № 12. Р. 1179. https://doi.org/10.1070/RCR4889 [Калинина Е.Г., Пикалова Е.Ю. // Успехи химии. 2019. Т. 88. № 12. С. 1179.]
- Hu S., Li W., Finklea H., Liu X. // Adv. Colloid Interface Sci. 2020. V. 276. P. 102102. https://doi.org/10.1016/j.cis.2020.102102
- 3. *Pikalova E. Yu., Kalinina E.G.* // Russ Chem Rev. 2021. V. 90. № 6. P. 703. https://doi.org/10.1070/rcr4966 [Пикалова Е.Ю., Калинина Е.Г. // Успехи химии. 2021. Т. 90. № 6. С. 703.]
- 4. *Osipov V.V., Kotov Yu.A., Ivanov M.G. et al.* // Laser Phys. 2006. V. 16. № 1. P. 116. https://doi.org/10.1134/S1054660X06010105
- Zhuravlev V.D., Bamburov V.G., Ermakova L.V., Lo-bachevskaya N.I. // Phys. At. Nucl. 2015. V. 78.
 № 12. P. 1389. https://doi.org/10.1134/s1063778815120169
- Wain-Martin A., Morán-Ruiz A., Vidal K. et al. // Solid State Ion. 2017. V. 313. P. 52. https://doi.org/10.1016/j.ssi.2017.08.021
- Kalinina E.G., Samatov O.M., Safronov A.P. // Inorg. Mater. 2016. V. 52. № 8. P. 858. https://doi.org/10.1134/S0020168516080094
- 8. *Kalinina E.G., Pikalova E. Yu.* // Russ. J. Phys. Chem. A. 2021. V. 95. № 9. P. 1942. https://doi.org/10.1134/S0036024421090077 [*Калинина Е.Г., Пикалова Е.Ю.* // Журнал физической химии. 2021. Т. 95. № 9. С. 1426]
- 9. *Lyklema J.* // Colloids Surf. A Physicochem. Eng. Asp. 2011. V. 376. № 1–3. P. 2. https://doi.org/10.1016/j.colsurfa.2010.09.021
- 10. *Ishihara T., Shimose K., Kudo T. et al.* // J. Am. Ceram. Soc. 2000. V. 83. № 8. P. 1921. https://doi.org/10.1111/j.1151-2916.2000.tb01491.x
- 11. *Khanali O., Rajabi M., Baghshahi S., Ariaee S. //* Surf. Eng. 2017. V. 33. № 4. P. 310. https://doi.org/10.1080/02670844.2016.1259730

- 12. *Ahmadi M., Aghajani H.* // Ceram. Int. 2017. V. 43. № 9. P. 7321. https://doi.org/10.1016/j.ceramint.2017.03.035
- 13. *Chen F., Liu M.* // J. Eur. Ceram. Soc. 2001. V. 21, № 2. P. 127. https://doi.org/10.1016/S0955-2219(00)00195-3
- 14. *Kalinina E., Shubin K., Pikalova E.* // Membranes. 2022. V. 12. № 3. P. 308. https://doi.org/10.3390/membranes12030308
- 15. *Pikalova E., Osinkin D., Kalinina E.* // Membranes. 2022. V. 12. № 7. P. 682. https://doi.org/10.3390/membranes12070682
- 16. Safronov A.P., Kalinina E.G., Smirnova T.A. et al. // Russ. J. Phys. Chem. A. 2010. V. 84. № 12. P. 2122. https://doi.org/10.1134/S0036024410120204 [Сафронов А.П., Калинина Е.Г., Смирнова Т.А. и др. // Журн. физ. химии. 2010. Т. 84. № 12. С. 2319.]
- 17. *Murthy A.S.N., Balasubramanian A., Rao C.N.R., Kasturi T.R.* // Can J Chem. 1962. V. 40. № 12. P. 2267. https://doi.org/10.1139/v62–351
- 18. *Ishihara T., Shimose K., Kudo T. et al.* // J. Am. Ceram. Soc. 2000. V. 83. № 8. P. 1921. https://doi.org/10.1111/j.1151-2916.2000.tb01491.x
- Quesada-Pérez M., González-Tovar E., Martín-Molina A. et al. // ChemPhysChem. 2003. V. 4. № 3. P. 234. https://doi.org/10.1002/cphc.200390040
- 20. *De Vos W.M., Lindhoud S.* // Colloid Interface Sci. 2019. V. 274. P. 102040. https://doi.org/10.1016/j.cis.2019.102040

- 21. *Lyklema J.* // Colloids Surf. A Physicochem. Eng. Asp. 2006. V. 291. № 1–3. P. 3. https://doi.org/10.1016/j.colsurfa.2006.06.043
- 22. *Fori B.*, *Taberna P.L.*, *Arurault L.*, *Bonino J.P.* // Colloid Interface Sci. 2014. V. 413. P. 31. https://doi.org/10.1016/j.jcis.2013.08.011
- 23. *Dukhin, A.S., Goetz P.J., Truesdail S.* // Langmuir. 2001. V. 17. № 4. P. 964. https://doi.org/10.1021/la001024m
- 24. *Müller E., Mann C.* // J. Chromatogr. A. 2007. V. 1144. № 1. P. 30. https://doi.org/10.1016/j.chroma.2006.11.103
- Delgado A.V., González-Caballero F., Hunter R.J. et al. // J. Colloid Interface Sci. 2007. V. 309. № 2. P. 194. https://doi.org/10.1016/j.jcis.2006.12.075
- 26. *Stotz S.* // Colloid Interface Sci. 1978. V. 65. № 1. P. 118. https://doi.org/10.1016/0021-9797(78)90264-3
- 27. *Neirinck B., Van Der Biest O., Vleugels J.A.* // J. Phys. Chem. B. 2013. V. 117. № 6. P. 1516. https://doi.org/10.1021/jp306777q
- Khair A.S. // Curr. Opin. Colloid. Interface Sci. 2022.
 V. 59. P. 101587. https://doi.org/10.1016/j.cocis.2022.101587
- Tricoli V., Corinaldesi F.F. // Langmuir. 2022. V. 38.
 P. 11250. https://doi.org/10.1021/acs.langmuir.2c01316
- 30. *Kalinina E.G.* // Russ. J. Phys. Chem. A. 2022. V. 96. № 9. P. 2032. https://doi.org/10.1134/S0036024422090163 [*Калинина Е.Г.* // Журн. физ. химии. 2022. Т. 96. № 9. P. 1347.]